

دکتر محمد حسین رضایی مقدم*

تحلیل شبکه آبراهه‌ای حوضه‌های دامنه جنوبی میشوداغ به روش هورتون

مقدمه

چگونگی تکوین و جایگزینی شبکه آبراهه در دامنه جنوبی میشوداغ با روش‌های مختلفی قابل بررسی است. یکی از این روشها بررسی کمی شبکه آبراهه‌ای با قوانین هورتون^۱ است. جایگزینی شبکه آبراهه‌ای ممکن است با سنگ‌شناسی و زمین ساخت ارتباط مستقیمی داشته باشد، اما یافتن مهمترین عامل، نیاز به بررسی دقیق و موشکافانه دارد. برای انجام دادن این بررسی از نقشه‌های توپوگرافی با مقیاس ۱:۵۰۰۰۰ استفاده شده و کنترل نتایج نیز از طریق نقشه‌های زمین‌شناسی و کارهای صحرایی صورت گرفته است.

* عضو هیأت علمی گروه چهارمیابی طبیعی دانشگاه تبریز

موقعیت، توپوگرافی و زمین‌شناسی منطقه مورد پژوهش

منطقه مورد بررسی در شمال غرب ایران در محدوده $۳۸^{\circ}۹' - ۳۸^{\circ}۲۰'$ عرض شمالی و $۴۵^{\circ}۲۰' - ۴۵^{\circ}۵۵'$ طول شرقی واقع می‌باشد. دامنه جنوبی می‌شود اگر از نظر واحدهای توپوگرافی واحدهای زیر را در بر می‌گیرد:

۱) واحد کوهستان در بالاتر از منحنی میزان ۲۰۰۰ متری تا بلندترین نقطه یعنی کوه علمدار با ارتفاع ۳۱۵۵ متر

۲) واحد فلات در حد فاصل ۲۰۰۰ متری و ۱۴۰۰ متری با شیب متوسط ۷ درصد

۳) واحد جلگه که در واقع بخشی از جلگه گستردۀ تبریز است.

در این پژوهش شبکه‌های آبراهه‌ای که عمدها در بخش کوهستان و بخش کوچکی از آن در واحد فلات قرار دارد مورد بررسی قرار می‌گیرد.

دامنه جنوبی می‌شود اگر از نظر زمین‌شناسی و تکتونیک با منطقه تبریز خصوصیات مشترک دارد. در این منطقه سازندهای زمین‌شناسی را از پرکامبرین تا کواترنر بانودهای مهم چینه‌شناسی می‌توان مشاهده نمود. قدیمی‌ترین سازند منطقه تحت عنوان سازند کهر (مریوط به پرکامبرین) از کلریت، سریست، شیست و توف تشکیل شده است. کنگلومراهای کواترنر تحتانی به طور دگر شیب در ارتفاعات بر روی کرتاسه بالایی و در بخش فلات بر روی سازند قرمز رنگ بالایی می‌سون قرار گرفته است (وردیه، ۱۹۶۱) پژوهش‌های زمین‌شناسی و تکتونیکی نشان داده که احتمالاً کوهزایی هرسی نین^۱ اولین بار

هورست آنتی کلینال میشو را تکوین بخشیده است. گرانیت - سینیت هسته‌مرکزی میشوداغ را به این کوهزائی نسبت می‌دهند. در دوران دوم نیز حرکات کوهزایی آلپی نفوذ مجدد گرانیت را موجب شده است. به طور کلی سازندهای مختلف زمین‌شناسی از طریق گسلهای متعددی که به صورت اصلی و فرعی در دامنه جنوبی میشوداغ وجود دارد با همدیگر در یک امتداد قرار گرفته‌اند. شبکه‌های آبراهه‌ای نیز به طور یکنواخت از فراز سازندهای مختلف عبور می‌کنند و خود را به جلگه جنوب جاده صوفیان - تسوج می‌رسانند.

ارزیابی روند جایگزینی شبکه آبراهه‌ای با استفاده از قوانین هورتون
 از زمان ارائه نظریه تحلیل مورفولوژیک شبکه آبراهه‌ای توسط هورتون تلاشهای زیادی در این جهت انجام پذیرفته است (شیمانو^۱، ۱۹۹۲). با ارائه روش نظام آبراهه‌ای به توسط استراهлер^۲ (یعنی در نظر گرفتن سرشاخه آبراهه‌ها به عنوان رتبه‌اول و شاخه ایجاد شده از پیوستگی دورتره اول به عنوان رتبه دوم و ...) سیستم هورتون - استراهлер شکل گرفت (استراهлер، ۱۹۶۴ - زاویانو^۳، ۱۹۸۵ - موحد دانش، ۱۳۶۶ و فریفته، ۱۳۷۰). با توجه به نتایج خوبی که قوانین هورتون از طریق روش رتبه‌بندی استراهлер دارد، در بیست و یک حوضه از دامنه جنوبی میشوداغ قوانین مربوط به تعداد، طول و مساحت آبراهه‌ها

1- Shimano

2- Strahler

3- Zavoianu

به کار بسته شد. از آنجاکه آوردن تمامی داده‌های مستخرج از نقشه‌ها موجب افزایش حجم این نوشته می‌گردد، داده‌های یکی از حوضه‌های مرکزی را جهت بحث درباره روش کار ذیلاً می‌آوریم:

نتایج نهایی مربوط به بقیه حوضه‌ها در جدول شماره (۲) درج شده است. پارامترهای اندازه‌گیری شده برای حوضه شماره ۱۱ (بنام حوضه شبستر یا دره چای به منزله یکی از حوضه‌های مهم منطقه) در جدول شماره (۱) آورده شده است.



جدول شماره (۱) کمیت‌های اولیه مستخرج
از نقشه‌های توپوگرافی برای حوضه شماره یازده

ردیف آبراهه‌ها معرف	۱	۲	۳	۴	مجموع داده‌ها
N	۸۵	۱۹	۵	۱	تعداد آبراهه از درجات مختلف
L	۶۲	۲۴	۸/۵	۹	طول آبراهه‌ها از درجات مختلف (Km)
A	۳۱/۳۴	۴۱/۴۲	۴۴/۴۵	۴۸/۱	مساحت آبراهه‌ها از درجات مختلف (Km^2)
L	۰/۷۳	۱/۷	۱/۷	۹	متوسط طول آبراهه‌ها از درجات مختلف (Km)
A	۰/۳۶	۱۱/۰۶	۱۱/۰۶	۴۸/۱	متوسط مساحت آبراهه‌ها از درجات مختلف (Km^2)

با استفاده از داده‌های جدول شماره (۱) معادلات ذیل محاسبه شد:

$$Nu = Rb(s - u) \quad Rb = Nu/Nu+1 \quad (1)$$

$$Lu = Ll/RL(u - 1) \quad (2)$$

$$RL = (q1p1 + q2p2 \dots qu-1 - pu-1)/(q1 + P2 + \dots + pu-1)$$

$$Lu = L1.RL (u - 1) \quad RL = Lu + \sqrt{L} \quad (3)$$

$$Au = A1.Ra (u - 1) \quad R = Au + \sqrt{Au} \quad (4)$$

در معادلات فوق u رتبه آبراهه و s بزرگترین رتبه حوضه هاست.
 تعداد، L طول آبراهه، $P = Lu + Lu + 1$ و $q = Lu + Lu + 1$ و $N. (s > u > 1)$
 همچنین Rb میانگین نسبت انشعاب^۱، RL میانگین نسبت طول متوسط
 آبراهه ها و Ra میانگین نسبت مساحت متوسط آبراهه ها از درجات مختلف
 می باشد^۲ (آبراهامز، ۱۹۸۴ - زاویانو، ۱۹۸۵ و شیمانو، ۱۹۹۲).

بدین ترتیب می توان محاسبات را برای جدول (۲) به انجام رساند:

$$Rb = ((85:19)+(19:5)+(5:1)) : 3$$

$$Rb = 4/4 \quad NI = 4/4 (4-1) = 85/18$$

کنترل نتیجه حاصل برای Rb از طریق (۱) تطابق خوبی را نشان می دهد^۳:

$$RI = (2/58 \times 86 + 2/82 \times 32/5 \times 0/94 \times 17/5) : (85 + 32/5 + 17/5)$$

$$RL = 2/44 \quad RL = 62:2/42(2-1) = 25/61 km$$

نتیجه به دست آمده از معادله (۲) نیز تفاوت اندکی با مقدار

اندازه گیری شده دارد:

$$RI = (1/26:0/73) + (1/7:1/26)(9:1/7) : 3$$

$$RI = 2/79 \quad L2 = 0/73 \times 2/79(2-1) = 2 km$$

1- Bifurcation

۲- در محاسبه نسبت مساحت Ra هر رتبه بالاتر، مساحت مربوط به رتبه پائین تر را نیز در بر می گیرد
 (نگارنده)

3- Abrahams

۴- لازم به توضیح است میزان Ra در محدوده ۳ تا ۵ معقول و قابل قبول است و نشان دهنده تاثیر اندک
 ساختمن زمین‌شناسی بر شبکه های آبراهه های می باشد (استراهلر، ۱۹۶۴).

معادله (۳) نسبت به مقدار اندازه گیری شده نتایج متفاوتی به دست می‌دهد. مقدار اندازه گیری شده $1/26$ است. در حالی که از طریق معادله، عدد ۲ حاصل می‌گردد. مقدار RI نیز با روش هورتون متفاوت است، یعنی اگر حوضه‌ها وضعیت نرمال داشته باشند، می‌بایستی $RI = Rb/RL = Rb/11$ برقرار باشد. لیکن همان گونه که ملاحظه شد نتایج متفاوت هستند (زاویانو ۱۹۸۵).

$$Ra = (2/18 : 0/368) + (11/0.6 : 2/18) + (48/1.1 : 0.6) : 3$$

$$Ra = 5/11 \quad A4 = 0/368 \times 5/11 = 48 \text{ km}^2$$

از طریق معادله (۴) مقدار محاسبه شده برای میانگین مساحت رتبه‌چهارم با مقدار اندازه گیری شده برابری می‌کند و برای سایر رتبه‌ها نیز تطابق خوبی دارد. بنابراین نتایج معادله تقریباً با حوضه شماره (۱۱) سازگار است. اما معادلات یاد شده در مورد تمامی حوضه‌های دامنه جنوبی می‌شود از پاسخگو نیست.

برای درک تطابق یا عدم تطابق معادلات هورتون در منطقه مورد مطالعه نتایج حاصل (مندرج در جدول ۲) از طریق رگرسیون خطی مورد تجزیه و تحلیل قرار گرفت.

مطابق روش هورتون میزان همبستگی بین پارامترهای محاسبه شده برای حوضه‌های دارای نظم و تکوین یکنواخت، می‌بایستی بسیار بالا باشد، در غیر اینصورت ممکن است عوامل متعددی نظیر لیتوژئی و تکتونیک در ایجاد اختلال نقش داشته باشد. اشکال (۱) روابط خطی بین Ra با Rb و RI و نیز رابطه خطی RI و Ra را نشان می‌دهد. پیش از آنکه به شرح و تحلیل میزان همبستگی بین پارامترها پرداخته شود، لازم است پارامترهای جدول (۲) با توجه به شواهد سنگ‌شناسی و تکتونیکی مورد تجزیه و تحلیل قرار گیرد.

ضریب تراکم آبراهه‌ها^۱ (Dd) برای تمامی حوضه‌های منطقه، در محدوده ۱ تا حداً کثر $۳/۸۱$ کیلومتر بر کیلومتر مربع قرار دارد^۲. عوامل اصلی پایین بودن ضریب تراکم در این منطقه را می‌توان در نوع اقلیم، سنگ‌شناسی و تکتونیک خلاصه کرد. سنگ‌شناسی به ویژه در حوضه‌های شرقی و غربی منطقه نمود بیشتری دارد. وجود آبرفت‌های دوران چهارم در سطح گسترده‌ای از حوضه‌ها موجبات افزایش نفوذپذیری را فراهم آورده است. با توجه به اینکه در حوضه‌های میانی نسبت به حوضه‌های شرقی و غربی، درصد سنگ‌های نفوذپذیر نسبت به کل مساحت حوضه‌ها بیشتر است، مقدار ضریب تراکم افزایش می‌یابد. چنانکه در شیل‌های پرکامبرین (سازند کهر) افزایش ضریب چشمگیر است، ولی میزان ضریب تراکم در سنگ‌های نفوذناپذیر در حد انتظار نیست. در اینجا روشن می‌شود که به غیر از سنگ‌شناسی عامل دیگری به نام تکتونیک دخالت دارد. سازند های منطقه در طی مرحله‌های مختلف تکتونیکی تحت فشار قرار گرفته و با ایجاد گسلها، درزهای شکافهای متعدد موجب گردیده‌اند تا سنگ‌های نفوذناپذیر شیل و فلیش در مقیاس منطقه‌ای نفوذپذیر شوند. همین پدیده باعث شده است تا از شدت ضریب تراکم کاشته شود. در کنار عوامل یاد شده نبایستی اقلیم حاکم بر منطقه را، نادیده گرفت. وجود اقلیم نیمه‌خشک با بارندگی بسیار کم نیز توانایی ایجاد آبراهه‌های متعدد را ندارد.

1- Drainage density

- ضریب تراکم آبراهه‌ها از معادله $L/A = Dd$ محاسبه می‌گردد و در آن L مجموع طول آبراهه‌ها از درجات مختلف و A مساحت کل حوضه است (استراهلر، ۱۹۶۴).

ضریب شکل^۱ حوضه‌های منطقه نیز در مجموع محدوده‌های معینی را به خود اختصاص داده است. مقدار آن از حداقل ۱۴٪ تا ۴۲٪ متغیر است. به طور متوسط ۲۵٪ می‌باشد (جدول ۲). در مجموع ضریب شکل بیانگر حالت کشیده‌ای کثر حوضه‌هاست. کشیدگی حوضه‌ها به طور مسلم در محاسبه پارامترهای $Ra, R1, RL, Rb$ دخالت مستقیم دارد. زیرا در رتبه بندی آبراهه‌ها تعداد و طول رتبه شماره یک به خاطر وارد شدنش به رتبه‌های دیگر افزایش می‌یابد.

ضریب انشعاب با توجه به توضیحات قبلی دارای محدوده‌ای بین ۱۲٪ تا ۹٪ است. میانگین تمامی حوضه‌ها ۲/۹۵ و انحراف استاندارد ۱/۴۲ محاسبه گردید. البته حوضه شماره ۱۵ به علت داشتن حداکثر ۲ رتبه، رقم بسیار بزرگ ۹ را نشان می‌دهد و با حذف این حوضه میانگین به ۳/۷ و انحراف استاندارد به ۸۵٪ تقلیل پیدا می‌کند.

متوسط نسبت طولها (RL) محدوده ۱/۴۷ تا ۱/۳۶ را در بر می‌گیرد، میانگین حوضه‌ها ۳/۰۹ و انحراف استاندارد ۵/۱۲٪ می‌باشد. متوسط نسبت طول میانگین آبراهه‌ها ($R1$) دارای محدوده‌ای بین ۰/۸۸ تا ۶۳/۶ و میانگین با ۲/۸۸ و انحراف استاندارد با ۱/۴۳ برابر است. درنهایت متوسط نسبت مساحتها (Ra) از حداقل ۱/۳ تا حداکثر ۶/۶ در نوسان است. البته با حذف حوضه شماره ۱۵ حداکثر به ۷/۲۶ تقلیل می‌یابد، بر این اساس میانگین ۴/۷۴ و انحراف استاندارد ۵/۰۰٪ می‌باشد.

معادله $R1 = Rb/RL$ در مورد حوضه‌های منطقه مورد مطالعه، صادق نیست و همواره کمیتی به میزان ۱/۰ تا ۵ کوچکتر یا بزرگتر از مقدار واقعی است. این عدم انطباق از ماهیت سنگ‌شناسی و تکتونیکی منطقه ناشی می‌شود. بدین ترتیب که سنگ‌شناسی تقریباً نفوذناپذیر قسمتهای بالادرست حوضه‌ها (بویژه حوضه‌ها شماره ۱ تا ۱۶) آبراهه‌های کوتاه و پر تعداد از رتبه یک ایجاد کرده‌اند. در نتیجه میانگین طول آبراهه‌های درجه یک بسیار کوچکی را نسبت به سایر رتبه‌ها نشان می‌دهد. بدین جهت مقدار $R1$ کمی نسبت به معادله مذکور بزرگتر می‌باشد. در حوضه‌های ۱۹، ۲۰ و ۲۱ به دلیل سنگ‌های نرم و یکنواخت آبرفتی، طول آبراهه‌های درجه یک نسبت به سایر حوضه‌ها طویلتر است به همین جهت، مقدار RL بزرگتر از Rb شده و به همان موازات $R1$ نیز کاهش یافته است ولی همچنان مقدار $R1$ بیشتر از مقدار حاصل از معادله پیشگفته است.

با عنایت به توضیحات یاد شده، ارتباط منطقی بین پارامترهای Rb و Ra وجود دارد. با توجه به جدول (۲)، همواره Ra بزرگتر از Rb و $R1$ همواره در تمامی حوضه‌ها (باستثنای حوضه شماره ۲) بزرگتر از RL است. تا اینجا مشخص می‌گردد که روابط و پارامترهای هورتون با منطقه مورد مطالعه سازگار است.

جدول ۲ پارامترهای مهم حوضه‌های دامنه جنوبی میشوداغ

Dd	ΣL Km	P Km	Lb Km	L km	A Km²	شماره حوضه
۱/۷۵	۱۰۷/۵	۳۹/۵	۱۵/۵	۱۷	۶۲	۱
۱/۹۵	۱۰۸/۵	۳۵	۱۵	۱۸	۵۶	۲
۱/۲۵	۴۸/۵	۲۷/۵	۱۲	۱۲/۵	۳۲	۳
۱/۸۱	۵۵/۵	۲۷/۵	۱۲	۱۲/۵	۳۱	۴
۲/۳۲	۳۰	۲۰	۹/۵	۱۰	۱۲	۵
۲/۴	۷۴/۵	۲۳	۹	۱۰	۳۰	۶
۲/۵۱	۱۲۸/۵	۳۳/۵	۱۴	۱۶	۵۱	۷
۳/۲۲	۵۹	۲۶	۱۲	۱۲/۵	۱۸	۸
۲/۵	۱۵۰/۵	۳۷	۱۴/۵	۱۶	۶۰	۹
۳/۰۱	۳۵/۵	۱۷/۵	۸/۲۵	۸	۱۲	۱۰
۳/۸۱	۱۸۳/۵	۳۱	۱۰/۷۵	۱۳	۴۸	۱۱
۱/۹۷	۵۳	۲۷	۹/۵	۹/۵	۲۷	۱۲
۱/۳۸	۲۷	۲۰	۸	۹/۵	۲۰	۱۳
۱/۸۵	۱۰	۱۲/۵	۵/۵	۶	۶	۱۴
۲/۰۱	۲۰/۵	۱۸/۵	۷	۹/۵	۱۰	۱۵
۲/۴۹	۲۹	۲۰	۹	۱۰	۱۲	۱۶
۱/۸۲	۴۴/۵	۳۰/۵	۱۰	۱۱	۲۴	۱۷
۱/۱۲	۲۰/۵	۲۱	۸	۱۰	۱۸	۱۸
۲/۱۴	۶۵/۵	۲۸	۱۲	۱۳	۳۱	۱۹
۲/۴	۲۷/۵	۱۳	۷/۵	۸	۱۱	۲۰
۲/۱۷	۷۹	۲۴	۱۰	۱۰	۳۶	۲۱

P =محیط حوضه (کیلومتر مریع) A =مساحت حوضه (کیلومتر مریع)

ΣL =طول کلی آبراهه‌ها (کیلومتر) L = طول آبراهه اصلی (کیلومتر)

Dd =ضریب تراکم Lb = طول حوضه در امتداد آبراهه اصلی (کیلومتر)

نام	Ra	Rf	RL	Rb	Rj	نام
درجه						درجه
آبرفت - شیل - مارن	۴/۷	۱/۶۶	۲/۹۴	۳/۸۲	۰/۲۶	۱
شیل - ماسه سنگ	۴/۴۷	۶/۶۲	۳/۸۱	۳/۹	۰/۲۵	۲
آبرفت - آهک - شیل	۴/۷۲	۲/۰۲	۳/۱۹	۳/۸۳	۰/۲۲	۳
آبرفت - شیل	۴/۰۴	۲/۱۹	۳/۱۹	۳/۰۵	۰/۲۱	۴
آبرفت - شیل	۵/۹۶	۲/۶	۱/۰۹	۴/۱۳	۰/۱۳	۵
فلبیش - شیل - آهک	۴/۰۲	۲/۱۴	۳/۹۷	۴/۱	۰/۳۸	۶
مارن - فلبیش - آبرفت	۰/۴۶	۲/۴۷	۲/۳	۴/۶۲	۰/۲۶	۷
شیل - فلیش	۴/۹۴	۲/۸۳	۲/۱	۳/۶۱	۰/۱۳	۸
شیل - فلیش	۳/۹۴	۱/۵	۳/۰۷	۳/۴۹	۰/۲۸	۹
شیل - فلیش - آبرفت	۴/۹	۱/۹۷	۲/۶	۴	۰/۱۷	۱۰
شیل - فلیش	۰/۱۱	۲/۷۹	۲/۴۲	۴/۴۲	۰/۴۲	۱۱
شیل - فلیش - آهک	۴/۷۰	۱/۷۳	۲/۱۲	۳/۰	۰/۳	۱۲
شیل - فلیش - آهک	۴/۷۰	۱/۷۳	۲/۱۲	۳/۰	۰/۳۱	۱۳
آبرفت - فلیش	۳/۱	۱/۲۴	۱/۴۷	۲	۰/۱۸	۱۴
آبرفت - آندزیت - آهک	۱۴/۶	۰/۷۹	۱/۰۶	۹	۰/۲۱	۱۵
آبرفت - آندزیت - آهک	۴/۹۹	۱/۰۶	۲/۶۲	۴	۰/۱۴	۱۶
آبرفت	۴/۹۶	۱/۲۰	۴/۳۵	۲/۰	۰/۲۰	۱۷
آبرفت - مارن	۷/۲۶	۲/۱	۱/۷۷	۳/۰	۰/۲۹	۱۸
آبرفت - سیلت - مارن - ماسه سنگ	۳/۰۳	۱/۰۳	۶/۳۱	۲/۸۸	۰/۲۱	۱۹
آبرفت - سیلت - مارن	۴/۳	۱/۲۶	۵/۶۲	۲/۳۳	۰/۲	۲۰
آبرفت	۳/۶۶	۰/۸۸	۲/۸	۲/۷۹	۰/۳۶	۲۱

(A/Lb2) = ضریب شکل (Rf)

RL = متوسط ضریب نسبت طول آبراهه ها از درجات مختلف

Rb = ضریب متوسط انشعاب

R1 = متوسط نسبت طول میانگین آبراهه ها از درجات مختلف

Ra = متوسط ضریب نسبت به میانگین مساحت ها از درجات مختلف

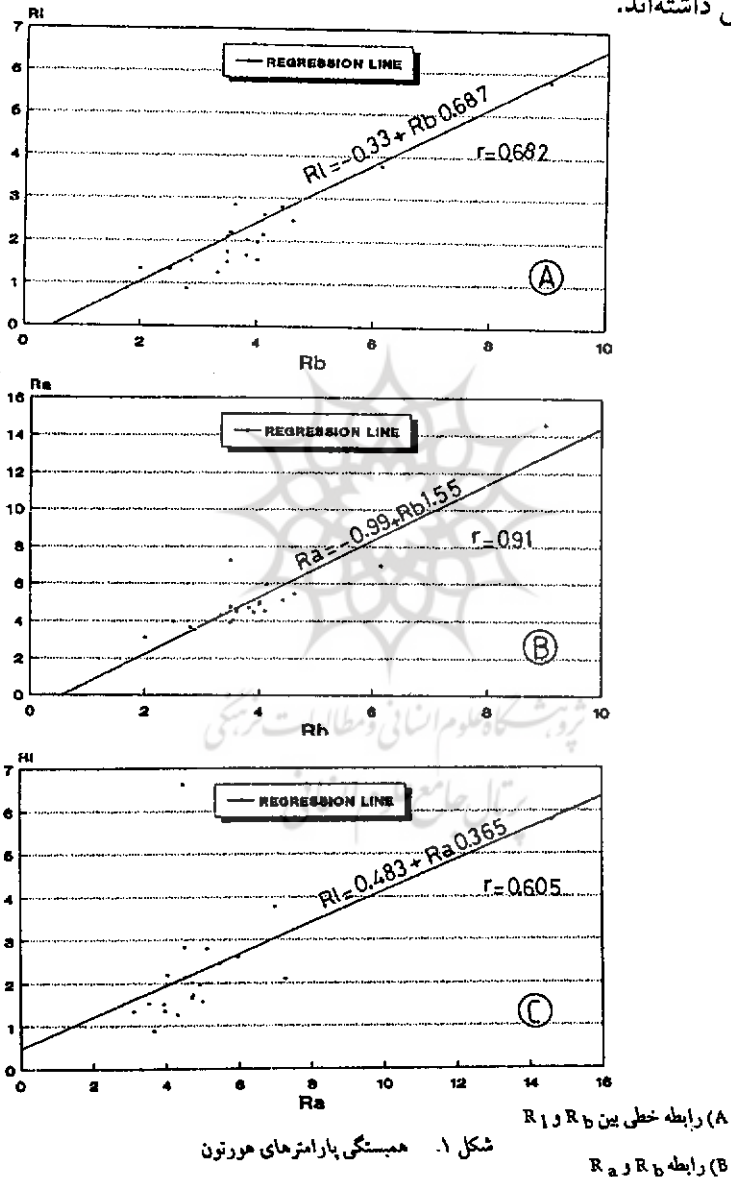
میزان همبستگی بین Ra و Rb با $r = 0.91$ ارتباط دقیق میان این دو پارامتر را نشان می‌دهد. همبستگی میان Rb و $R1$ نیز برای تمامی حوضه‌ها با $r = 0.68$ و بدون در نظر گرفتن حوضه استثنایی شماره ۰.۹۳ = ۰.۶۸ در حداقل قابل قبولی است. روابط خطی Ra و $R1$ نیز در شرایط احتساب کلیه حوضه‌ها $r = 0.605$ و بدون در نظر گرفتن حوضه استثنایی شماره ۲ با $0.89 = r$ در حد معقولی است.

نتیجه:

مطابق بررسیهای انجام شده در دامنه جنوبی میشوداغ قوانین هورتون راجع به ترکیب شبکه آبراهه‌ای در تمامی موارد مصدق دارد. پارامترهای قوانین هورتون از یک حوضه به حوضه دیگر و از یک نوع زمین‌شناسی به نوع دیگر زمین‌شناسی اختلاف اندکی نشان می‌دهد. بین پارامترهای به دست آمده روابط خطی خوبی برقرار است. با حذف حوضه شماره ۱۵ ضریب همبستگی خوبی بین پارامترهای حوضه حاصل می‌شود. به طوری که همبستگی بین نسبت انشعاب و نسبت مساحت شبکه زهکشی با $r = 0.91$ بین نسبت انشعاب و نسبت طول میانگین آبراهه‌ها با $r = 0.93$ و بین نسبت مساحت شبکه زهکشی و نسبت طول میانگین آبراهه‌ها با $r = 0.89$ و بین نسبت مساحت زهکشی و نسبت طول میانگین آبراهه‌ها با $r = 0.89$ نشان‌دهنده انتظام هورتون در دامنه جنوبی میشوداغ است.

مقادیر بزرگ انشعاب به حوضه‌های دارای سنگهای نفوذناپذیر شیل و فلیش و مقادیر کوچکتر به حوضه‌های دارای سنگهای نفوذپذیر آبرفتی تعلق دارد. از طرف دیگر بایستی متناظر شد که تمامی عوامل ژئومورفولوژی

یعنی تکتونیک، سنگ‌شناسی و اقلیم در ایجاد شبکه آبراهه‌ای منطقه نقش مهمی داشته‌اند.



شکل ۱. همبستگی پارامترهای هرتوون

(B) رابطه خطی بین R_a و R_b

(A) رابطه خطی بین R_I و R_b

(C) رابطه بین R_I و R_a . در این اشکال مفهوم پارامترهای بی بعد عبارتند از R_b نسبت انشعاب آبراهه، R_a نسبت مساحت‌های آبراهه‌ها از درجات مختلف و R_I مانگن نسبت متوسط طول آبراهه‌ها از درجات مختلف

منابع و مأخذ:

- اسدیان، عمران - علیرضا راستگار میرزایی - محمد محجل و بهزاد علیلو،
- نقشه زمین‌شناسی مرند با مقیاس ۱:۱۰۰۰۰۰
- سازمان زمین‌شناسی کشور.
- خیام، مقصود، ۱۳۵۱ - زمین‌شناسی جلد تبریز - نوشه سوگرا -
نشریه ادبیات و علوم انسانی دانشگاه تبریز - شماره ۱۰۱، سال ۲۴
- رضایی مقدم، محمد حسین - ۱۳۷۰ - تحقیق در تحول ژئومورفولوژی
دامنه شمالی سهند، درۀ سعید آبادچای - رساله کارشناسی ارشد -
گروه جغرافیا - دانشگاه تبریز
- رضایی مقدم، محمد حسین - ۱۳۷۴ - پژوهش در تشکیل کوهپایه‌ها و
دشت‌های ابناشتی دامنه جنوبی میشوداغ «با تأکید بر مورفوکلیما و
مورفوتکتونیک» - پایان‌نامه دکتری - گروه جغرافیا - دانشگاه تبریز
- فریفته - جمشید - ۱۳۷۰ - تحلیل‌های کمی در ژئومورفولوژی -
انتشارات دانشگاه تهران
- موحد دانش، علی‌اصغر - ۱۳۶۶ - مقدمه‌ای بر هیدرولوژی -
نوشه وايزمن و همکاران - جلد اول - انتشارات عمیدی - تبریز
- *Abrahams A.D. 1984, Channel Networks: A geomorphological perspective. water Resource NetWork, Vol. 20. No2. pp. 161 - 188*

- Shimano Y. 1992, Characteristics of Stream Network Composition of Drainage basin in the Japanese island.
Environmental Geology and Water Sciences. Vol 20, No1, pp. 5 - 14
- Strahler A.N., 1964, Quantitative Geomorphology of drainage basins and Channel NetWorks. In Chow (Ed), *Hanbook of applied hydrology.*
- Verdier A., 1961, Geological Report No. 236 on Meyane area and Sarab - Tabriz - Khoi area.
- Zavoianu I. 1985, Morphometry of drainage basins, Development in Water Science, Vol 20, 238 p.

پژوهشگاه علوم انسانی و مطالعات فرهنگی
پرتابل جامع علوم انسانی